

地盤構造の有効応力解析におよぼす影響

東北大学工学部 学生員 ○萩原 繩
 佐藤工業(株) 中村 晋
 東北大学工学部 正会員 飛田 善雄

1. はじめに

新潟地震(1964)以来液状化現象は 地盤の破壊的被害として注目されている。1983年5月26日に発生した日本海中部地震では、青森・秋田両県に液状化による被害が多く生じた。中でも八郎潟干拓地は完成以来 青森県西方沖地震(1964), 新潟地震(1964), 十勝沖地震(1968)により液状化による堤体沈下 すべり破壊等の被害が多発している。これらの被害は八郎潟の地盤構造が、軟弱な冲積粘土に砂をほどこした構造であることに起因すると考えられる。従来の液状化に対する判定は、地盤の剛体的挙動に基づき作用応力を決定している。しかしながら八郎潟の様な中間軟弱層を有する飽和砂地盤の振動特性は、この様な仮定とは全く異なる。本論文では、この様な軟弱地盤上の砂質地盤に対する作用応力の適切な評価のために行なった解析結果について記す。

2. 地震応答解析

地震応答解析は、地盤材料の非線形性を考慮し地盤を水平成層と仮定した一次元有効応力解析により行なった。間げき水圧発生モデルは、内部変数モデルを考慮した。以下に概要を述べる。

i) 運動方程式

水平方向の運動方程式は セン断波の伝播に伴う土中内つまり合い方程式(1)を用いた。さらに図-1に示す様に応力-歪関係が、時間に線形であるとした2式を用い(1)式に適用した(3)式を本論文では用いた。また運動方程式(3)を図-2に示すような lumped マス系に離散化を行なった。下方境界には 地下透散減衰を考慮した粘性境界を用いた。減衰には Rayleigh 減衰 ($\alpha=0.6$ $\beta=0.012$) を用い時間積分にはニューマーカーのB法 ($\beta = 1/4$ $\Delta t = 0.01$) を用いた。

$$\rho \frac{\partial^2 u_x}{\partial t^2} = \frac{\partial \tau}{\partial x} \quad \dots \dots 1) \quad \tau = G(x-t_0) + \tau_0 \quad \dots \dots 2) \quad \rho \frac{\partial^2 u_x}{\partial t^2} = G \frac{\partial^2 u_x}{\partial z^2} + \frac{\partial}{\partial z} (t_0 - G x) \quad \dots \dots 3)$$

$$[M]\ddot{u} + [C]u + [K]u = f \quad \dots \dots 4)$$

$$\text{但し } [M] = M_{ij}\delta_{ij}, [C] = C_{ij}\delta_{ij}, K_{ii} = K_{i+1} + K_i, K_{i+1} = K_{i+1} = -K_i$$

$$C_{nn} = C_n + \rho V_s, f_i = -(t_{0,i} - G_{i+1} t_{0,i}) + (t_{0,i} - G_i t_{0,i}), f_n = -(t_{0,n} - G_n t_{0,n})$$

ii) 応力-歪関係

応力-歪関係は、図-3及び4)式に示す Modified Hardin-Drnevich モデルを用いた。履歴特性には、Masing則を用いた。

$$\tau = \frac{G_{mo} \delta}{1 \pm G_{mo}/\tau_{mo}} \quad \dots \dots 4)$$

ここで τ : 動的セン断応力 G_{mo} : 初期セン断定数

δ : 動的セン断ひずみ τ_{mo} : 初期最大セン断応力

iii) 間げき水圧発生モデル

間げき水圧発生モデルとして、セン断ひずみが内部構造の変化を表現するものとして飛田らが提案した次式を用いた。

$$\chi = \exp(\lambda |\eta|) \sum_{s=1}^S |\eta_s| \quad \dots \dots 5) \quad U/U_{mo}' = \alpha \chi / (\chi + \beta) \quad \dots \dots 6)$$

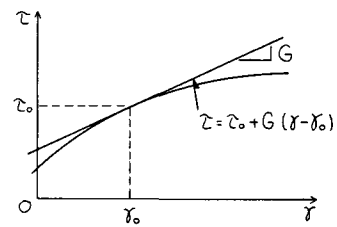


図-1 応力-歪関係

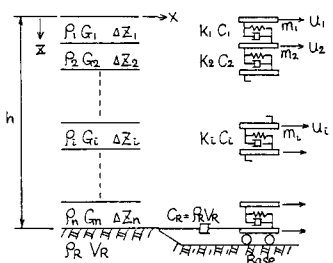


図-2 Lumped mass model

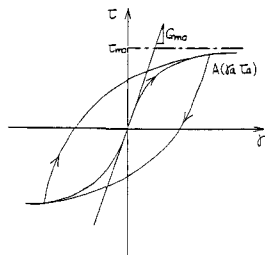


図-3 ヒステリシスLoop

ここで α_i : 第*i*番目の時間-ひずみ曲線の半サイクル中のピーク値

a, β, α : 定数 (本研究では $a=1.0, \beta=0.2, \alpha=5.0$ とした)

σ_0' : 初期有効応力 λ : 損傷パラメータ

3. 解析モデル

解析には八郎鴉の様な中間軟弱層を有する地盤構造をモデル化し、図-5に示すように $V_s = 60\text{ m}$ を有する軟弱層の厚さを $10\text{ m}, 20\text{ m}$ とした2ケースを用いた。また土質定数は表-1に示す様に両モデルとも同一であり、軟弱層の厚さの差異が上部地盤に及ぼす影響の評価を行うため単に軟弱層の厚さを変えたモデルを考慮した。入力波については、図-4に示す川岸町 (NS 0~20sec) を最大加速度 150 gal に正規化し用いた。

4. 解析結果

図-5に示すに解析モデルに前述の一次元有効応力解析を適用した結果を 図-6 図-7に示す。ここで図-6には架さ方向の最大応答せん断応力 (T_{max}) 分布、図-7には架さ方向の最大応答せん断応力比 (T_{max}/σ_0') 分布を示す。さらに図-7には、地表面最大加速度 170 gal を用い、岩崎龍岡法による発生せん断応力比を示す。

最大応答せん断応力分布についてみると、TYPE 1 では、 $0.017 \sim 0.032 \text{ t/m}^2$ 、TYPE 2 では $0.055 \sim 0.102 \text{ t/m}^2$ となり、TYPE 2 が TYPE 1 の 3 倍程度となっている。また最大応答せん断応力比分布についてみると、TYPE 1 では $0.03 \sim 0.22$ 、TYPE 2 では $0.1 \sim 0.66$ となり、TYPE 2 が TYPE 1 の 3 倍程度となっていることがわかる。

5. 考察

解析結果をみると、TYPE 2 が TYPE 1 の 3 倍程度の応答を示していることがわかる。これは、軟弱層が厚くなることにより軟弱層において応答変位が増大するため、軟弱層と上層部との境界に応力集中の様な挙動を示したためと考えられる。また従来の液状化判定に用いられている作用応力は、地盤構造に伴う振動特性が評価されていないため、解析結果に比して TYPE 1 は大きく TYPE 2 では小さな値となったものと考えられる。本稿作成の段階では解析値に若干の問題が残っており、結論は導き出せないが、少くとも TYPE 1, TYPE 2 に見られる様に最大せん断応力 T_{max} 及びその有効上載圧 σ_0' に対する比は、本解析の対象となつた八郎鴉干石堤防の様に、軟弱層上に砂層がある場合には簡易法で仮定している様な分布とはならない様である。今後、地盤構成及び地盤定数が、振動特性及び液状化現象に及ぼす影響を明確にするためのケーススタディを続行する予定である。

6. 謝辞

本論文に多大な御指導を賜った東北大学工学部 柳沢教授に感謝の意を表します。

- (参考文献)
- 1)飛田、柳沢; 第五回土木学会年次学術講演会講演概要集第3部「地盤波の特性を考慮した動的衝撃水压測定の簡便法」
 - 2)ISHIHARA, TOHATA; 東京大学工学部紀要: 「One-Dimensional Soil Response Analysis」
 - 3)石原研吾; 「土質力学の基礎」

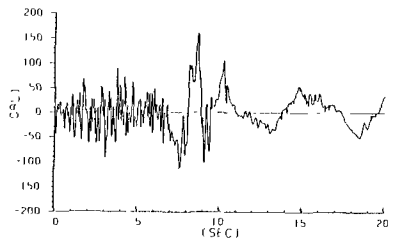
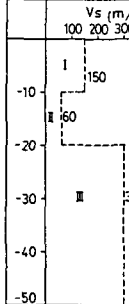


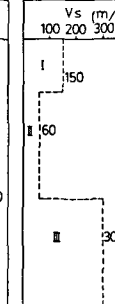
図-4 入力地震波

(川岸町 N-S, $A_{max} = 150\text{ gal}$)

TYPE-1



TYPE-2



層	土質定数			
I	$\gamma_t = 1.8 \text{ t/m}^3$	$m_v = 1.0 \times 10^{-4} \text{ m}^2/\text{t}$	$k = 1.0 \times 10^{-4} \text{ m/s}$	$n = 0.4$
II	$C = 0.0 \text{ t/m}^3$	$m_v = 1.0 \times 10^{-6} \text{ m}^2/\text{t}$	$k = 1.0 \times 10^{-12} \text{ m/s}$	$n = 0.8$
III	$\phi' = 30^\circ$	$G_o = 40500 \text{ KN/m}^2$	$\phi' = 0^\circ$	$G_o = 54000 \text{ KN/m}^2$
	$\gamma_t = 1.5 \text{ t/m}^3$	$m_v = 1.0 \times 10^{-4} \text{ m}^2/\text{t}$	$k = 1.0 \times 10^{-4} \text{ m/s}$	$n = 0.5$
	$C = 1.0 \text{ t/m}^3$	$G_o = 162000 \text{ KN/m}^2$	$\phi' = 30^\circ$	$n = 0.5$

表-1 土質定数

図-5 解析地盤モデル

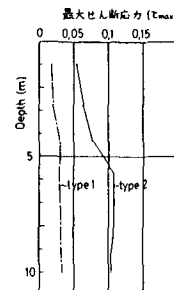


図-6 最大応答せん断応力分布

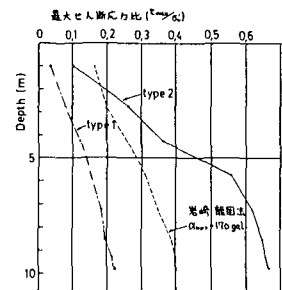


図-7 最大応答せん断応力比分布